

УДК 541.144+541.182.2/3

## КИНЕТИКА АЭРОЗОЛЕОБРАЗОВАНИЯ ПРИ ФОТОЛИЗЕ АЦЕТАЛЬДЕГИДА

© 1999 г. С. Н. Дубцов, Е. Н. Дульцев, Г. Г. Дульцева, Г. И. Скубневская

Институт химической кинетики и горения Сибирского отделения Российской академии наук, Новосибирск

Поступила в редакцию 25.08.1998

В работе всесторонне исследованы закономерности фотохимического аэрозолеобразования ацетальдегида. Измерены константы скорости фотолиза и изучена кинетика фотонуклеации в потоке аргона и воздуха. На основе сопоставления эксперимента и модельных расчетов фотонуклеации определены скорости образования и квантовые выходы аэрозолей. Охарактеризован химический механизм процесса с помощью идентификации свободных радикалов, газовых и аэрозольных продуктов.

### 1. ВВЕДЕНИЕ

Органические высокодисперсные аэрозоли – неотъемлемая часть фотохимического смога, для которого характерно появление вторичных аэрозолей в результате сложных физико-химических превращений газообразных соединений в атмосфере. Фотохимический механизм формирования вторичных аэрозолей в условиях фотосмога можно рассматривать как необычный класс реакций, в котором гомогенные газовые реакции тесно переплетены с гетерогенными процессами [1]. Начальный этап перехода газ–частица, лимитирующий образование кластеров, пока слабо изучен по ряду причин. Разработанная нами методика исследования фотонуклеации аэрозолей позволяет вплотную приблизиться к стадиям образования зародышей [2]. С этой целью кинетика фотонуклеации изучается совместно с детектированием интермедиатов и сопровождается анализом химического состава продуктов в аэрозолях.

В данной работе объектом исследования выбран ацетальдегид, которому присущи все характерные свойства класса альдегидов. Альдегиды являются постоянными компонентами земной атмосферы. Фоновая концентрация ацетальдегида колеблется от 0.1 до 3 млрд<sup>-1</sup>. В воздухе городов на долю ацетальдегида приходится от 1 до 83 млрд<sup>-1</sup> (2–166 мкг/м<sup>3</sup>) [1]. Фотолиз альдегидов в природных условиях является одним из основных источников пероксидного радикала в атмосфере. В свою очередь радикал HO<sub>2</sub> выступает ведущей короткоживущей частицей в процессах формирования вторичных газовых и аэрозольных продуктов фотосмога.

Особый интерес представляет трансформация ацетальдегида в органические аэрозоли. До сих пор считалось, что ацетальдегиду не свойственно аэрозолеобразование и в термодинамических оценках “потенциал аэрозолеобразования” ацетальдегида близок к нулю [3]. Однако широко из-

вестная склонность ацетальдегида к циклизации и полимеризации [4] создает предпосылки для возникновения аэрозолей. Фотохимическое воздействие на вещество с такими свойствами может значительно усилить эффективность перехода газ – частица.

В работе изучены как кинетика фотолиза паров ацетальдегида, так и кинетические закономерности образования аэрозольных продуктов. Для идентификации короткоживущих интермедиатов – свободных радикалов применен метод спиновых ловушек. Выполнен анализ газовых и аэрозольных продуктов. На основании совокупности полученных данных сделаны заключения о механизме процесса.

### 2. МЕТОДИКА ЭКСПЕРИМЕНТА

Исследование кинетики фотохимического аэрозолеобразования ацетальдегида проводили в проточной установке, аналогичной описанной в [2] и состоящей из блока подготовки реакционной смеси, источника УФ-излучения, проточного кварцевого реактора диаметром 25 мм и диффузионного спектрометра аэрозолей (ДСА). Газ-носитель (воздух или Ar) продувался через барботер с жидким CH<sub>3</sub>CHO, терmostатированным при -35°C. Образующаяся парогазовая смесь подавалась в кварцевый проточный реактор, где облучалась полным светом ртутной лампы низкого давления ДРТ-240. Время облучения варьировалось в диапазоне от 0.05 до 12 с путем изменения облучаемого объема реактора.

Концентрацию CH<sub>3</sub>CHO в потоке контролировали, используя методику определения карбонильных соединений по реакции с 2,4-динитрофенил-гидразином (ДНФГ) с последующим детектированием образовавшихся гидразонов на жидкостном микроколоночном хроматографе “Милихром-1”

[5]. Концентрация альдегида в потоке составляла  $4.1 \cdot 10^{17} \text{ см}^{-3}$ .

В некоторых опытах в реакционную смесь добавляли добавки паров воды и перекиси водорода. В этих случаях часть потока газа-носителя аргона дополнительно пропускали через барботер с водой или 16%-ной  $\text{H}_2\text{O}_2$ .

При использовании воздуха в качестве газа-носителя в реакторе под действием УФ-облучения образуется озон в концентрации  $(2.5 \pm 3.5) \cdot 10^{13} \text{ см}^{-3}$ , как показали измерения анализатором озона "Циклон 5-2". Опыты показали, что в темновых условиях озон в смеси с ацетальдегидом не образует аэрозоли.

Аэрозольные частицы детектировали с помощью ДСА, состоящего из 8-канальной сетчатой диффузационной батареи, конденсационного укрупнителя, фотоэлектрического аэрозольного счетчика и микропроцессорного контроллера, обеспечивающего управление прибором и связь с ПК. Концентрация аэрозольных частиц  $N_a$  измерялась в диапазоне  $10^2$ – $10^7$  частиц/ $\text{см}^3$ . Распределение частиц по размеру определялось в диапазоне от 2 до 200 нм.

Фотолиз паров исходного реагента-ацетальдегида измеряли в кварцевой кювете ( $l = 5 \text{ см}$ ). Убыль концентрации ацетальдегида регистрировали спектрофотометрически на длине волны  $\lambda = 290 \text{ нм}$  (Specord UV-VIS). Фотолиз проводили тем же УФ-источником, что и при исследовании кинетики фотохимического аэрозолеобразования. В некоторых опытах выделяли длинноволновую часть спектра ( $>320 \text{ нм}$ ) с помощью стеклянного фильтра.

Ацетальдегид очищали непосредственно перед опытами перегонкой в токе инертного газа  $T_{\text{кип}} = 19$ – $20^\circ\text{C}$ ,  $n_D^{17} = 1.3345$ ; справочные значения:  $T_{\text{кип}} = 20.16^\circ\text{C}$ ,  $n_D^{17} = 1.3328$ .

Для идентификации свободных радикалов, образующихся при фотолизе  $\text{CH}_3\text{CHO}$ , использовалась спиновая ловушка 1, 2, 2, 5, 5-пентаметил-3-имида-золин-3-оксид (ПМИО). Для этого газовую смесь после фотолиза пропускали через барботер с водным раствором спиновой ловушки (0.2 М) и затем записывали спектры ЭПР спиновых аддуктов (Bruker ER-200). Методика проведения подобных измерений в условиях фотонуклеации детально описана нами в [6]. Для анализа карбонилов в газовых и аэрозольных продуктах использовалась реакция с ДНФГ, как описано выше.

### 3. РЕЗУЛЬТАТЫ И ОБСУЖДЕНИЕ

#### 3.1. Кинетика фотолиза $\text{CH}_3\text{CHO}$ в аргоне и в воздухе

На рис. 1 приведены кинетические зависимости расходования ацетальдегида при его фотолизе в инертном газе и в воздухе. Как видно из рисунка, убыль  $\text{CH}_3\text{CHO}$  описывается кинетикой 1-го порядка. Из начального наклона кинетических кривых определены эффективные константы скорости фотолиза ( $k_{\text{эфф}}$ ) ацетальдегида. Они оказались равными  $(2.16 \pm 0.18) \cdot 10^{-4}$  и  $(3.70 \pm 0.13) \cdot 10^{-4} \text{ с}^{-1}$  для Ar и воздуха, соответственно. Для того чтобы учесть возможное влияние адсорбции ацетальдегида на стенках кюветы, была измерена кинетика исчезновения  $\text{CH}_3\text{CHO}$  в темновых условиях в аргоне и в воздухе. Установлено, что константы адсорбции ( $k_{\text{темн}}$ ) в обоих случаях близки. Среднее значение  $k_{\text{темн}}$  равно  $(7.50 \pm 0.51) \cdot 10^{-5} \text{ с}^{-1}$ . Таким образом, с учетом адсорбции  $k_{\text{эфф}}$  равна  $(1.41 \pm 0.19) \cdot 10^{-4}$  и  $(2.95 \pm 0.14) \cdot 10^{-4} \text{ с}^{-1}$  для Ar и воздуха, соответственно. Эти значения были использованы в дальнейшем при расчете скорости фотолиза ацетальдегида в экспериментах по исследованию кинетики аэрозолеобразования.

Известно, что при облучении светом  $<320 \text{ нм}$  ацетальдегид возбуждается в синглетное состояние  $S_1$ , которое конвертирует в триплеты  $T_1$ . Из этих  $S_1$ - и  $T_1$ -состояний молекула распадается тремя путями, причем заметно преобладает реакция

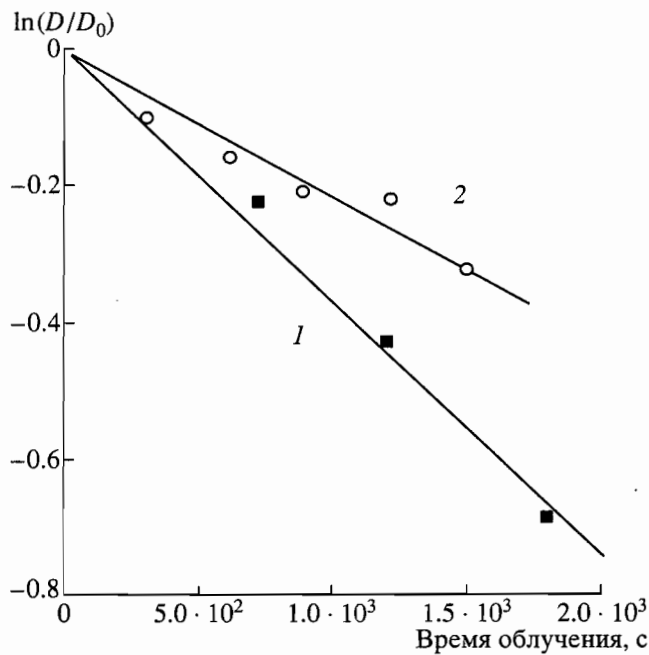
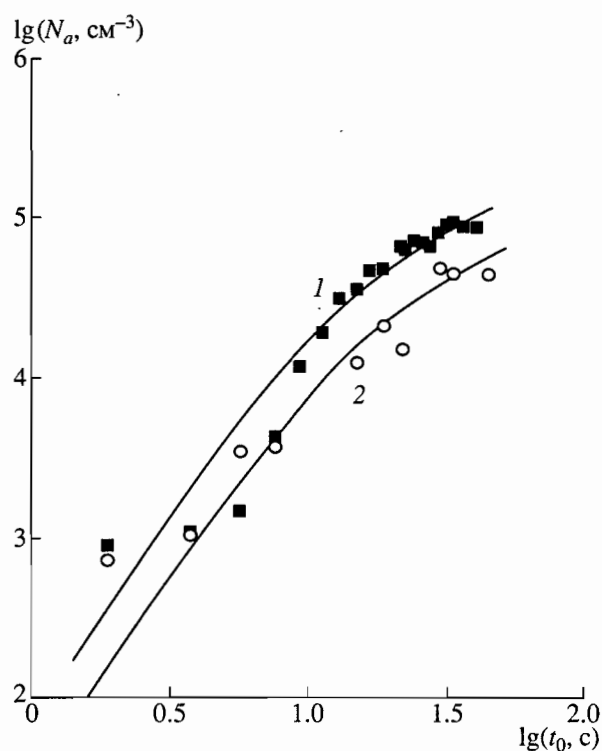
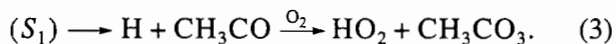
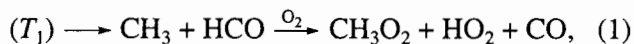
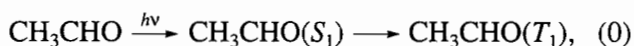


Рис. 1. Кинетика фотолиза  $\text{CH}_3\text{CHO}$  в воздухе (1) и в аргоне (2). Линии рассчитаны по методу наименьших квадратов для кинетики первого порядка;  $k_{\text{возд}} = (3.7 \pm 0.13) \cdot 10^{-4} \text{ с}^{-1}$ ,  $k_{\text{Ar}} = (2.16 \pm 0.21) \cdot 10^{-4} \text{ с}^{-1}$ .



**Рис. 2.** Кинетика аэрозолеобразования при фотолизе  $\text{CH}_3\text{CHO}$  в воздухе (2) и в аргоне (1). Точки – эксперимент, линии – расчет. Скорость генерации “мономеров” равна  $2.1 \cdot 10^5 \text{ см}^{-3} \cdot \text{с}^{-1}$  в воздухе и  $7.8 \cdot 10^5 \text{ см}^{-3} \cdot \text{с}^{-1}$  в аргоне.

(1) из триплетного состояния [7–10]. На воздухе радикалы  $\text{H}$ ,  $\text{HCO}$ ,  $\text{CH}_3$  и  $\text{CH}_3\text{CO}$  конвертируют в пероксидные радикалы:



Поскольку молекула кислорода известна как эффективный тушитель триплетов, предполагалось, что скорость фотолиза в воздухе окажется меньше, чем в аргоне. На практике, однако, получилось наоборот – в воздухе убыль ацетальдегида происходит быстрее. Этому факту есть двоякое объяснение. Не исключено, что происходит фотолиз пероксидных радикалов, приводящий к дополнительному развлечению цепей. Другой вариант – невозбужденные молекулы  $\text{CH}_3\text{CHO}$  эффективнее вовлекаются свободными радикалами в дальнейшие превращения в воздухе по сравнению с аргоном.

### 3.2. Кинетика фотохимического аэрозолеобразования ацетальдегида

При облучении паров  $\text{CH}_3\text{CHO}$  светом  $< 320 \text{ нм}$  в области радикального распада наблюдается фотонуклеация. Облучение длинноволновым светом  $> 320 \text{ нм}$  не приводит к появлению аэрозолей. Это указывает на свободнорадикальное инициирование процесса. Кинетика аэрозолеобразования ацетальдегида при фотолизе в аргоне и в воздухе показана на рис. 2. Как видно, скорость фотонуклеации в аргоне примерно в 10 раз больше, чем в воздухе. Зависимости концентрации частиц от времени облучения имеют вид типичный для кинетики нуклеации в свободномолекулярном режиме с постоянным источником конденсирующихся продуктов – “мономеров” [11]. Средний диаметр аэрозольных частиц увеличивается с возрастанием времени облучения  $t_0$  от 3 до 12 нм. Распределение частиц по размерам имеет одну моду. При одинаковых  $t_0$  размеры частиц в Ar и воздухе практически одинаковы.

Было отмечено, что увеличение влажности реакционной смеси повышает выход аэрозолей. Так, в присутствии 10 Торр  $\text{H}_2\text{O}$  в аргоне аэрозоль образуется примерно в 5 раз больше. Если в систему вводятся дополнительно пары перекиси водорода, то выход аэрозолей больше в 2–3 раза по сравнению с сухим Ar. При этом детектируются радикалы OH с помощью спиновых ловушек. Это указывает на ингибирование аэрозолеобразования радикалами OH в системе  $\text{CH}_3\text{CHO}-\text{Ar}$ . Размеры частиц при этом остаются неизменными.

### 3.3. Численное моделирование фотонуклеации

Для расчета скорости генерации конденсирующихся продуктов (мономеров) было проведено численное моделирование кинетики аэрозолеобразования в рамках коагуляционной модели Смолуховского в режиме свободномолекулярного столкновения кластеров. Численное моделирование на основе этой модели было нами выполнено впервые для описания кинетики фотонуклеации галоидбензолов [11] и затем использовалось для ряда других систем. Основными предположениями модели являются следующие:

- а) скорость генерации мономеров  $W_{\text{mon}}$  постоянна;
- б) все аэрозольные частицы состоят из одинарных “мономеров”;
- в) все соударения мономеров и кластеров между собой эффективны, т.е. приводят к образованию новых частиц;
- г) испарение мономеров из кластеров отсутствует;
- д) между моментом прекращения облучения и моментом регистрации частиц имеется временной интервал  $t_1$ , во время которого нет генерации.

## Константы СТВ спиновых аддуктов

| Длина волны фотолиза | Константы СТВ, Э             |                               |
|----------------------|------------------------------|-------------------------------|
|                      | в аргоне                     | в воздухе                     |
| <320 нм              | $a_N = 14.6, a_H = 29.2$ (I) | $a_N = 17.0, a_H = 19.7$ (II) |
| >320 нм              | не наблюдается               | не наблюдается                |

мономеров, но идет конденсация и коагуляция уже образовавшихся кластеров.

В рамках этих предположений, уравнения, описывающие динамику мономеров и кластеров, имеют следующий вид:

$$\frac{dN_1}{dt} = -N_1 \sum_{i=1}^{\infty} \beta_{1i} N_i + F(t) - \gamma_1 N_1, \quad (4)$$

$$\frac{dN_k}{dt} = (1/2) \sum_{i+j=k} \beta_{ij} N_i N_j - N_k \sum_{i=1}^{\infty} \beta_{ki} N_i - \gamma_k N_k, \quad (5)$$

где  $F(t)$  – скорость генерации мономеров,  $F(t) = F = \text{const}$  при  $t < t_0$ ,  $F(t) = 0$  при  $t_0 \leq t \leq t_0 + t_1$ ;  $\beta_{ij}$  – газокинетическая константа соударений кластеров, состоящих из  $i$  и  $j$  мономеров;  $N_k$  – концентрация кластеров, состоящих из  $k$  мономеров;  $\gamma_k N_k$  – скорость осаждения кластеров объема  $k$  на стенки реактора;  $t_0$  – время облучения,  $t_1$  – время задержки.

Алгоритм решения этой системы уравнений подробно описан в работе [11]. На рис. 2 результаты модельных расчетов сопоставлены с экспериментальными данными. Из сравнения расчетных и экспериментальных кинетических кривых были определены скорости образования конденсирующихся продуктов  $F(t)$ , равные  $7.8 \cdot 10^5$  и  $2.1 \cdot 10^5 \text{ см}^{-3} \cdot \text{с}^{-1}$  для фотолиза  $\text{CH}_3\text{CHO}$  в аргоне и воздухе, соответственно.

Скорость фотолиза ( $W_\Phi$ )  $\text{CH}_3\text{CHO}$  в условиях аэрозольных экспериментов рассчитывалась следующим образом:

$$W_\Phi = k_{\Phi} [\text{CH}_3\text{CHO}] (I_1/I_2),$$

где  $k_{\Phi}$  – эффективная константа фотолиза, определенная в ходе фотолиза;  $[\text{CH}_3\text{CHO}]$  – концентрация ацетальдегида, равная  $4.1 \cdot 10^{17} \text{ см}^{-3}$ ;  $I_1, I_2$  – интенсивности облучения в экспериментах по аэрозолеобразованию и фотолизу, соответственно. Поскольку облучение проводили нефокусированным светом, можно считать, что  $I_1/I_2 = (R_2/R_1)^2$ , где  $R_1, R_2$  – расстояние от источника облучения до реактора. Рассчитанные таким образом  $W_\Phi$  ацетальдегида в Ar и в воздухе равны соответственно  $6 \cdot 10^{12}$  и  $3.4 \cdot 10^{12} \text{ см}^{-3} \cdot \text{с}^{-1}$ .

Сопоставление рассчитанных значений  $F(t)$  с измеренными экспериментально  $W_\Phi$  показывает,

что в аэрозоли переходит незначительная часть продуктов фотолиза: примерно  $5 \cdot 10^{-7}$  и  $0.6 \cdot 10^{-7}$  для Ag и воздуха, соответственно.

### 3.4. Идентификация короткоживущих радикалов, газовых и аэрозольных продуктов

**3.4.1. Свободные радикалы.** Для идентификации свободных радикалов использовался метод спиновых ловушек. Было показано, что фотолиз ацетальдегида в газовой фазе сопровождается образованием аддуктов спиновой ловушки ПММО, давая характерный триплет дублетов в спектрах ЭПР. Параметры спектров приведены в таблице. Сопоставление наблюдаемых значений констант СТВ с известными значениями констант СТВ аддуктов циклических спиновых ловушек позволяет заключить, что аддукт (I) принадлежит метильному радикалу. Формильный радикал дает спиновый аддукт с меньшими значениями констант СТВ ( $a_H < 21$  Э) и в этой системе, вопреки ожиданиям, не обнаружен. Поскольку среди газовых продуктов найден формальдегид в заметных количествах, то, по-видимому, преобладает рекомбинация формильных радикалов. При фотолизе  $\text{CH}_3\text{CHO}$  в смеси с воздухом наблюдается аддукт с константами СТВ (II). Такие значения констант СТВ характерны для алcoxильных радикалов. Эти радикалы, по-видимому, возникают при рекомбинации пероксидных радикалов  $\text{CH}_3\text{O}_2$ , поскольку на воздухе первичные радикалы реакций (1)–(3) активно присоединяют кислород, трансформируясь в пероксирадикалы [10]. Можно было ожидать проявления пероксидных радикалов спиновыми ловушками. Однако аддукты пероксидных радикалов с характерными значениями  $a_H = 7 - 9$  Э при фотолизе  $\text{CH}_3\text{CHO}$  в воздухе не найдены. Возможно, причины этого кроются в рекомбинации радикалов  $\text{CH}_3\text{O}_2$  или в низкой скорости присоединения пероксидных радикалов к спиновой ловушке по сравнению с конкурирующими реакциями.

**3.4.2. Газовые продукты фотолиза  $\text{CH}_3\text{CHO}$ .** Среди газовых продуктов фотолиза в аргоне существует в значительных количествах формальдегид, причем его концентрация возрастает с увеличением времени облучения. Кроме того, найден биацетил. При фотолизе в воздухе формальдегида найдено меньше, а биацетил не обнаружен. Однако в воздухе, как и следовало ожидать, отмечено

образование муравьиной и уксусной кислот, при чем  $\text{HCOOH}$  преобладает.

**3.4.3. Аэрозольные продукты фотолиза  $\text{CH}_3\text{CHO}$ .** Вследствие малого выхода аэрозолей сделан лишь качественный анализ продуктов. Аэрозольные продукты в аргоне и в воздухе существенно отличаются по химическим свойствам. В аргоне аэрозоль обладает восстановительными свойствами, а полученный в воздухе — нет. Тонкослойная хроматография показывает, что продукт, полученный в воздухе, представляет первоначально один компонент, но при старении образца разделяется на два. Пятно продукта, полученного в аргоне, на хроматограмме расплывчато, и его не удается разделить подбором разных элюентов, что типично для полимерных соединений.

Аэрозольный продукт из ацетальдегида в аргоне содержит карбонильные группы, характерные для соединений с числом атомов углерода больше 6. В полученном на воздухе аэрозоле карбонильные группы не обнаружены.

Наблюдения за химическими свойствами продукта во времени дают основания заключить, что аэрозоль, образующийся в аргоне, включает тетramerы ацетальдегида. Это согласуется с литературными данными об инициировании агрегации ацетальдегида свободными радикалами [4].

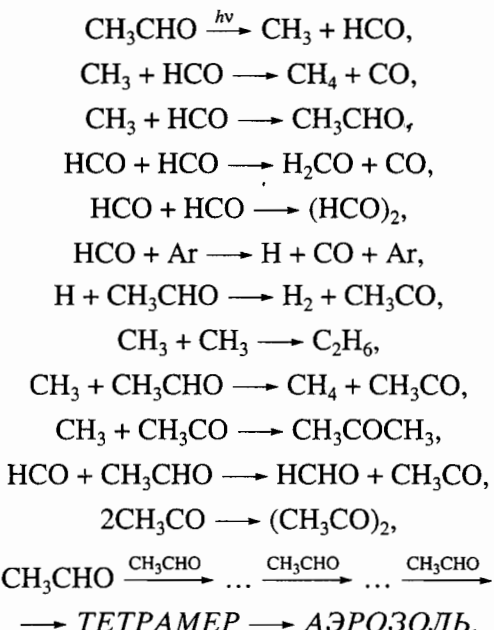
Таким образом, совокупность полученных данных показывает, что фотолиз и фотонуклеация  $\text{CH}_3\text{CHO}$  в аргоне и в воздухе проходит с участием разных промежуточных свободных радикалов и приводит к разным газовым и аэрозольным продуктам, что отражается на количественных характеристиках аэрозолеобразования.

#### 4. ПРЕДПОЛАГАЕМЫЙ МЕХАНИЗМ ФОТОНОУКЛЕАЦИИ $\text{CH}_3\text{CHO}$

Фотолиз и фотоокисление паров ацетальдегида описаны в литературе [7–10]. Однако при этом обсуждаются исключительно газовые продукты. Это не удивительно, поскольку, как показывают наши данные, аэрозольные продукты фотолиза  $\text{CH}_3\text{CHO}$  с размером частиц 3–8 нм и квантовым выходом  $<10^{-7}$  можно обнаружить и исследовать только с помощью специальной техники измерений, использованной в этой работе [2, 11].

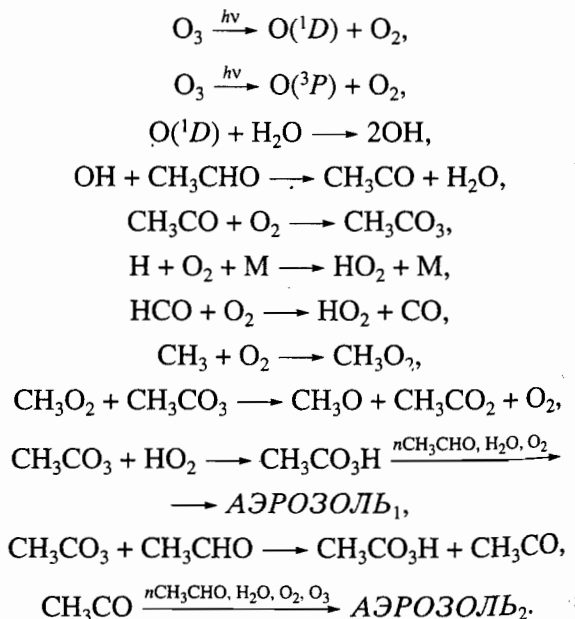
Аэрозольные продукты являются результатом превращений, следующих за первичными стадиями фотолиза (1)–(3) и реакциями первичных радикалов между собой, с ацетальдегидом и другими компонентами смеси. Обобщая литературные данные [7–10, 12, 13] и наши результаты, можно охарактеризовать преобладающие стадии процесса следующими схемами:

#### В смеси $\text{CH}_3\text{CHO}$ –argon:



#### В смеси $\text{CH}_3\text{CHO}$ –воздух

В реакциях активно участвуют  $\text{O}_2$  и малые компоненты воздуха  $\text{H}_2\text{O}$  и  $\text{O}_3$ , расширяя перечень активных промежуточных частиц и усложняя состав аэрозольных продуктов:



Напомним, что не только количественные кинетические различия в фотонуклеации, но и более сложный состав аэрозолей в случаях фотолиза  $\text{CH}_3\text{CHO}$  в воздухе по сравнению с аргоном нашли свое отражение в рамках предложенных гипотетических схем. Эксперименты со спиральными ловушками подтвердили, что разные короткоживущие промежуточные частицы присутствуют в ходе фотолиза смесей  $\text{CH}_3\text{CHO}$ –аргон и  $\text{CH}_3\text{CHO}$ –воздух.

Таким образом, проведенное нами комплексное исследование кинетики фотолиза и аэрозолеобразования показало, что обобщения литературных и собственных данных по химическому механизму образования газовых продуктов не применимы впрямую к закономерностям образования аэрозольных продуктов. Это наглядно продемонстрировано на примере противоположного влияния  $O_2$  на кинетику фотолиза и фотонуклеации ацетальдегида.

Основное внимание в выполненных исследованиях было уделено физико-химическому механизму фотонуклеации ацетальдегида и показывает возможную значимость подобного подхода в изучении механизмов образования органических аэрозолей. Особенно актуальными и экологически значимыми являются подобные работы в исследованиях сложнейших процессов, формирующих фотосмог. Напомним, что по термодинамическим оценкам работы [3], ацетальдегид считается потенциально неспособным давать аэрозоли вследствие большой летучести. Наша работа всесторонне обосновала противоположный вывод – ацетальдегид под воздействием УФ-радиации способен активно формировать органический аэрозоль. Это еще раз показывает всю сложность современного этапа изучения высокодисперсных органических аэрозолей.

#### 4. ВЫВОДЫ

Исследована кинетика фотолиза и аэрозолеобразования при УФ-облучении ацетальдегида в воздухе и в аргоне. Установлено, что скорость фотолиза в аргоне ниже, чем в воздухе, а скорость образования аэрозолей в аргоне в 10 раз выше, чем в воздухе. Проведено численное моделирование кинетики фотонуклеации, что позволило рассчитать скорости образования конденсирующихся продуктов и оценить квантовый выход аэрозолей.

Методами физико-химического анализа показано, что аэрозольные продукты, полученные в воздухе и в аргоне, значительно различаются по свойствам и химическому составу.

Идентифицированы короткоживущие свободные радикалы – интермедиаты процесса. Показаны их существенные различия при фотолизе ацетальдегида в смесях с аргоном или воздухом.

Предложены схемы процессов, протекающих при фотолизе и фотонуклеации ацетальдегида в аргоне и в воздухе. Выполнены оценки относительного вклада разных схем реакций, качественно согласующиеся с наблюдаемыми кинетическими закономерностями и химическим составом аэрозолей.

Авторы выражают благодарность А.И. Левыкину за помощь в проведении кинетических расчетов.

Работа выполнена при финансовой поддержке Российским фондом фундаментальных исследований (грант № 96-03-33304а).

#### СПИСОК ЛИТЕРАТУРЫ

1. Исидоров В.А. Органическая химия атмосферы. С.-П.: Химия, 1992. 288 с.
2. Dubtsov S.N., Skubnevskaya G.I., Kutzenogii K.P. // J. Aerosol Sci/ 1992. V. 23. P. 181.
3. Grosjean D., Seinfeld J.H. // Atmos. Environ. 1989. V. 23. P. 173.
4. Олкок Г. Гетероциклические соединения и полимеры на их основе. М.: Мир, 1970. 215 с.
5. Скубневская Г.И., Дульцева Г.Г. // Журн. эколог. химии. 1994. Т. 3. С. 29.
6. Dultseva G.G., Skubnevskaya G.I., Tikhonov A.Ya. et al. // J. Phys. Chem. 1996. V. 100. P. 17523.
7. Haden W.L.Jr., Rice O.K. // J. Chem. Phys. 1942. V. 10. P. 445.
8. Cundall R.B., Davies A.S. // Progress in Reaction Kinetics / Ed. Porter G. Pergamon Press, 1967. V. 4. P. 149.
9. Horowitz A., Calvert J.G. // J. Phys. Chem. 1982. V. 86. P. 3105.
10. Weaver J., Meagher J., Heicklen J. // J. Photochemistry. 1976. V. 6. P. 111.
11. Dubtsov S.N., Koutzenogii K.P., Levykin A.I., Skubnevskaya G.I. // J. Aerosol Sci. 1995. V. 26. P. 705.
12. Кондратьев В.Н. Константы скорости газофазных реакций. М.: Наука, 1970. 351 с.
13. Atkinson R., Baulch D.L., Cox R.A. et al. // J. Phys. Chem. Ref. Data. V. 21. № 6. 1992. P. 1125.